

التشخيص المظاهري والجزيئي لبعض الفطريات المسيبة لمرض لفحة السنابل على الشعير في محافظتي صلاح الدين ونينوى

سعادلة حسن علي قيس كاظم زوين** KrKzoh@yahoo.com كلية الزراعة جامعة تكريت	مركز محمد ثلح *** qzewain@gmail.com كلية الزراعة جامعة تكريت	العامة لتجارة الحبوب / فرع صلاح الدين sasdhasn2@gmail.com تاريخ استلام البحث ٢٠٢٢/٥/١٠ وقبوله ٢٠٢٢/٦/٤ . البحث مستل من اطروحة دكتوراه للباحث الاول
الخلاصة		

أظهرت نتائج المسح الحقلي وأذ تقضي عن مرض لفحة الرأسية للسنابل على الشعير لمناطق زراعة الشعير في محافظتي صلاح الدين ونينوى انتشار المرض بنسب متباعدة أذ بلغ عدد الحقول المصابة بالمرض (الفحص العيني) ١٧ حقل من اصل ٢١ حقلًا شملت بعملية المسح وبلغت نسبة الاصابة بالمرض في الحقول بين ٣.٢ - ٤.٧ % وبمتوسط ٢.٩ % وبشدة اصابة تراوحت بين ٠.٣ - ٠.٩ % وبمتوسط ٠.٧ %. اظهرت البيانات المتعلقة بنسب العزل من سنابل ونباتات الشعير تفوق تكرار ظهور اجناس فطر *Fusarium spp* مقارنة بغيرات الفطريات الأخرى اذ بلغت اعلى نسبة لنكرار ظهور النوع *F. graminearum* ٢٠% من النبات البالغة و ٣٥% من السنابل تلاه النوع *F. culmorum* وبنسبة قاربت ١٥% من النباتات و ٢٠% من السنابل ، ثم تبعها النوع *F. poae* بنسبة ١٥% من النباتات و ١٠% من السنابل ، كما ظهرت أجناس أخرى مع الفطر *Fusarium spp* في الظهور وكانت اعلى نسبة ظهور الفطر *Alternaria spp* وبنسبة ٢٥% على النباتات البالغة و ٢٠% على السنابل ثم تبعه الفطر *Aspergillus spp* بنسبة الظهور ٥% على النباتات البالغة و ١٠% على السنابل ، والفطر *Helminthosporum spp* بنسبة ٥% على النباتات البالغة بينما على السنابل ظهر بنسبة ١٠%. بعد تنقية المستعمرات لاحظنا وجود مستعمرات لونها أبيض بشكل عام مع وجود لون وردي والذي تغير مع تقدم عمر المستعمرة إلى اللون النبي مكونة وسادة فطرية محددة التكوين عند تسميتها على وسط أوراق القرنفل Carnation Leaf Agar (CLA). كما ان مقلوب الطبق كان بلون برتقالي شاحب. كذلك ظهرت تحت المجهر أبواغ كونيدية كبيرة Macroconidia مقوسة نحيفة الشكل من جانبها الظاهري والأبواغ نحيفه لها جدران سميكة أطوالها متوسطة ومنحنية او مستقيمة في جانبها البطني وخليتها القاعدية متميزة والقافية مستدققة تقريباً ويتراوح عدد الحواجز في الأبواغ الكبيرة بين ٣ الى ٧ حواجز. الأبواغ الكلاميدية للفطر مختلفة في تكوينها وغالباً ما تكون الأبواغ البطيئة التكوين أكثرها شيوعاً تلك التي تتكون على الأبواغ الكونيدية الكبيرة، كما تكونت في الغزل الفطري فراداً ببعد بين ١٠-١٢ ميكرومتر. كما تم مشاهدة مستعمرات ذات لون احمر يميل إلى البنّي والأبواغ الكونيدية الكبيرة Macrocondia قوية وقصيرة نوعاً ما ومحاطة بجدران سميكة جانبها الظاهري منحنى نسبياً والجانب البطني مستقيم تقريباً لها ٤-٣ حواجز أعدادها غزيرة وذلك عندما أصبح عمر مستعمرة الفطر سعة أيام على الوسط الذي فيه أوراق قرنفل. حوامل الكونيدية ذات شكل متعرج على غزل الفطر تجتمع وتكون شكل الوسادة الفطرية Sporodochium الشكل بيضوي ويميل إلى الكروي هو ماتميز به أبواغ الكلاميديا والتي تتكون بين خلايا غزل الفطر أو على الطرفين ملمسها أملس الى خشن والأبعاد تتراوح من ١٣-٩ ميكرومتر وكانت بشكل منفرد أو تجتمع فتعطي شكل السلسل. تم تأكيد التشخيص الجزيئي للعزلات الفطرية التي تسببت بالأصابة بلفحة السنابل في حقول الشعير هما النوعين *F. graminearum* و *F. culmorum* وباستخدام تقنية تفاعل البلمرة المتسلسل ، (PCR) من خلال الاستعمال لزوج بادئات المتخصصة للكشف عن الجينات في منطقة فاصل النسخ الداخلي (ITS) ITS Internal transcribed spacer (ITS) الذي استعمل فيه البادي الأمامي ITS4 ٣'- TCCGTAGGTGAAACCTGCGG F: ٥'- (ITS1 R: ٥'- العكسي) . وباختصار تأكيد التشخيص المظاهري على الشعير في محافظتي صلاح الدين ونينوى.

الكلمات المفتاحية: لفحة السنابل ، *F. graminearum* ، *F. culmorum*

Phenotypic and molecular diagnosis of some fungi that cause spikes blight on barley in Salah al-Din and Nineveh governorates

⁽¹⁾Saad Allah Hassan Ali * ⁽²⁾Qais Kazem Zwain ** ⁽³⁾Karkaz Muhammad Snow ***

sasdhasn2@gmail.com

qzewain@gmail.com

KrKzoh@yahoo.com

(1) The General Company for Grain Trade / Salah El-Din Branch.

(2) College of Agriculture - University Tikrit.

(3) College of Agriculture - University Tikrit.

- **Date of research received 10/5/2022 and accepted 2/6/2022.**
- **Part of PhD dissertation for the first author.**

Abstract

The results of the field survey showed that when the head blight disease was investigated on barley for the barley cultivation areas in the governorates of Salah al-Din and Nineveh, the disease spread in varying proportions, the number of fields affected by the disease (examination appearance) 17 fields out of 21 fields included in the survey process, and the infection rate in the fields ranged between 3.2 - 4.7 %, with an average of 2.9 %, and a severity of infection ranging between 0.3 - 0.9 %, and an average of 0.7%. The data related to the percentages of isolates from ears and barley plants showed a higher frequency of appearance of spp *Fusarium* species compared to isolates of other fungi. The highest frequency of appearance of *F. graminearum* reached 20% of the adult plant and 35% of the ears were followed by *F. culmorum* with a rate of approximately 15% of the plants And 20% of the spikes, followed by the type *F. poae* with 15% of the plants and 10% of the spikes, and other genera appeared with the fungul *Fusarium* spp in the emergence and the highest percentage of the appearance of the fungus *Alternaria* spp and by 25% on the adult plants and 20% on the spikes Then the fungus *Aspergillus* spp followed with a percentage of 5% on adult plants and 10% on spikes, and *Helminthosporum* spp with 5% on adult plants, while it appeared on spikes by 10%. After purification of the colonies, we noticed the presence of colonies of white color in general with a pink color, which changed with the age of the colony to brown, forming a fungal pillow with limited formation when growing on the middle of the Carnation Leaf Agar (CLA) leaves. The inverted plate was pale orange in color. Also, Macroconidia spores appeared under the microscope, curved and thin on its dorsal side, and the spores were thin, with thick walls, of medium lengths, and curved or straight on their ventral side, their basal cell distinct and the apical almost tapering. The number of septa in large spores ranged between 3 to 7 septa. Chlamydial spores of fungi are different in their composition, and the slow-forming spores are often the most common ones that form on large conidia, as they were formed in the mycelium single with dimensions between 10-12 micrometers. Colonies of red color tend to brown and Macrocondia strong and somewhat short and surrounded by thick walls, the dorsal side is relatively curved, and the ventral side is almost straight. clove. Conidia runners are branched on mycelium of mushrooms that assemble and form the pillow-shaped Sporodochium. The shape is oval and tends to be spherical. It is characterized by Chlamydia spores, which are formed between the cells of the mycelium of the fungus or on both ends. Its texture is soft to rough, and the dimensions range from 9-13 micrometers, and they are singly or aggregated, giving the form of chains. Molecular diagnosis

of the fungal isolates that caused head blight in barley fields, *F. graminearum* and *F. culmorum*, was confirmed using polymerase chain reaction (PCR) technology by using a pair of specialized primers to detect genes in the internal transcribed spacer (ITS) ITS in which the forward initiator (ITS1 F: 5'- TCCGTAGGTGAACTCGGG-3') and the reverse initiator (ITS4 R: 5' TCCTCCGCTTATTGATATGC-3') were used. The results of electro-migration analysis using 2% agarose showed that a band of size 544 base pairs appeared, which is the size that was expected at which the specialized primers appear for detection. Because the initiators are located within the genetic makeup of *F. graminearum* and *F. culmorum*. It is finally confirmed that the two isolates of mushrooms that were diagnosed by phenotypic diagnosis on culture media belong to the two fungi mentioned above.

Key words: head blight, *F. graminearum*, *F. culmorum*.

المقدمة

يعد الشعير *Hordeum vulgare* التابع للعائلة النجيلية Poaceae من أقدم محاصيل الحبوب التي عرفها الإنسان (اليونس وآخرون ، ١٩٨٧) محصول الشعير يزرع في المناطق التي تكون فيها الامطار محدودة وذلك بسبب تحمل هذا النبات قلة سقوط الامطار وظروف الجفاف (العامری ، ٢٠١٠). ويعبّاني العراق من شحة في إنتاجه مما يتسبب في عدم تلبية الاحتياجات الاستهلاكية للبلد مع وجود حاجة متزايدة لاستهلاك هذا المنتج (Blattne ، ٢٠١٨). إن أحد أهم اسباب إنخفاض إنتاجية محصول الشعير في العراق يعود إلى انتشار العديد من الآفات الزراعية لاسيما الإصابة الفطرية بمراحل نموه كافة ومن هذه الأمراض تufen البذور وموت البادرات قبل البزوع وبعدها وتعفنات الجذور (Lamichhane وآخرون ، ٢٠١٧). كما تتعرض سنابل الشعير إلى مرض لفحة السنابل ولا يقتصر تأثير هذه الفطريات في تسببيها بخسائر مباشرة وغير مباشرة وتشمل خفض نسبة الانباتات والحاصل وكذلك رداءة نوعية المحصول بل قدرتها على إنتاج المركبات السامة للإنسان والحيوان والتي تقع ضمن الخسائر غير المباشرة والتي تدعى بالسموم الفطرية Mycotoxins والتي تتسبب بالعديد من الإلتفاقات الصحية وأشهرها مرض السرطان ومن أشهر السموم الفطرية السم (DON) (McMullen deoxynivalenol) (Zeralelon (ZEN) . وكذلك السم (Liu و Applegate ، ٢٠٢٠). يُعد الفهم الأفضل للقاعلات الفطرية والنباتية وعوامل الإ-produktion شرطاً أساسياً لتطوير استراتيجيات جديدة لمكافحة المرض. إذ ان التطورات الحديثة في التسلسل والتقنيات الجينومية جعلت من الممكن مراقبة تغيرات التعبير الجيني على مستوى الجينوم الكامل ، والتي أثرت على جميع جوانب العلوم البيولوجية (Xu و آخرون ، ٢٠٠٦). في علم أمراض النبات ، يُعد التحديد المبكر للعامل المسبب للمرض أمرًا بالغ الأهمية للتعرف على العامل الممرض ، وتتفيد اللوائح التي تتضمن التحكم والحجر الصحي (Clark و Atkins ، ٢٠٠٤). أشار Stakheev (٢٠١١) إلى أن تقنيات التشخيص الميكروبيولوجي الروتيني ، بما في ذلك عزل مسببات الأمراض والدراسات المورفولوجية ، كانت تستغرق وقتاً طويلاً وتنطلب جهداً كبيراً ؛ علاوة على ذلك ، اعتمدت نتائجهما على خبرة الموظف العالية ؛ وبالتالي ، هناك بعض تقنيات التشخيص الجزيئي المحددة والحساسة التي تم استخدامها للكشف عن مسببات الأمراض الفطرية بدقة ، مثل تفاعل البلمة المتسلسل (PCR) والمقارسة المناعية المرتبطة بالإلزيم (ELISA). على الرغم من أن كلتا الطريقتين قد وفرتا نتائج سريعة وموثوقة ، إلا أن تقنية تفاعل البلمة المتسلسل مرغوبة لأنها أكثر حساسية وتحديداً (Chakraborty و آخرون ، ٢٠٠٦ . De Villiers ، ٢٠٠٩). وهدفت الدراسة إلى تشخيص الفطريات المعزولة من عملية المسح الحقلية مظهرياً وجزئياً

المواد وطرق العمل

المسح الحقلـي:

تم أجراء المسح الحقلـي لمرض لفحة السنابل على الشعير في بعض مناطق محافظة صلاح الدين (الشرقاـط والعلم وسامراء وبيجي) ومحافظة نينوى (القيارة وحمام العليل والحمدانية) خلال الأشهر نيسان وآيار من عام ٢٠٢٠ إختيرت عدة حقول في كل منطقة ، وتم حصر النباتات المصابة أثناء السير داخل الحقل على شكل قطرتين متعددين ورمي المربع الخشبي (مساحته ٢م٢) بمعدل خمسة رميات لكل قطر في كل حقل ومتوسط ٨٥ نبات لكل حقل، وحساب النسبة المئوية للإصابة باستخدام المعادلة الآتية:

$$\text{للإصابة} = \frac{\text{عدد النباتات المصابة}}{\text{العدد الكلي للنباتات}} \times 100$$

ومن الاعراض المرضية الظاهرة للنباتات المصابة ، هي الإصفرار وموت الأوراق السفلية على المجموع الخضري والسنابل البيضاء الطباشيرية او ذات اللون البني الفاتح ، ومن الحبوب النامية ذات الشكل المنكمش او خشنة السطح لونها رمادي ناعم ، ومن السويقة أيضاً أسفل السنبلة ذات اللون البني او الأرجواني .

وتم تقييم شدة الاصابة للنباتات المصابة باستخدام معادلة (Michenny ١٩٢٣) :

شدة الاصابة= $\frac{\text{عدد السنابل من الفئة}(١)\times\text{تكرارها}+\dots+\text{عدد السنابل من الفئة}(٥)\times\text{تكرارها}}{\text{العدد الكلي للسنابل المختبرة}\times\text{أعلى فئة}}$

بعد تصنيفها إلى ستة فئات أستناداً إلى مقياس (Jones ، ٢٠٠٠) كتعديل لقياس (Chelkowski ، ١٩٨٩) .

الافت	الاعراض على السنابل
٠	السنابل سليمة
١	سنبلة واحدة مصابة
٢	٢ الى ٣ سنابل مصابة
٣	٤ الى ٥ سنابل مصابة
٤	٦ الى ٨ سنابل مصابة
٥	٩ الى ١٤ سنابل مصابة
٦	١٥ او أكثر سنابل مصابة

عزل وتشخيص الفطريات :

تمت زيارة عدة حقول في المناطق المذكورة سابقاً عند مرحلة تكامل النمو الخضري للنباتات قبل التزهير وبعد التزهير وتكون السنابل وتكاملها ، وفُلعت النباتات التي لوحظت عليها اعراض الاصابة المتمثلة بالإصفرار والتقرح على منطقة التاج والساقي وتلون عقد السلاميات باللون البني وتهدل الاوراق السفلية على مجموعها الخضري وأستخدمت طريقة Waalwijk وأخرون (٢٠٠٣) باخذ ٥٠ سنبلة من الحقول المختارة بطريقة عشوائية وأزالة السفا عنها وتم غسلها بماء جار في إناء زجاجي وعقمت سطحياً بغمراً في محلول ١% هابيوكلوريت الصوديوم NaOCl لمدة دقيقتين جففت بين ورقتي ترشيح ثم نقل كل جزء بعد تقطيعه إلى طبق بتري قطر ٩ سم وجرت الزراعة داخل غرفة الزراعة المعقمة على وسط البطاطا والدكتوزر الصلب Potato dextrose agar الجاهز المصنوع من شركة Himedia بأذابة ٣٩.٥ غم في لتر ماء مقطر والوسط المجففة في ٧٠ سيليزية لمدة ٣ ساعات ، وضعت ٥ قطع من اوراق القرنفل في كل طبق (٢٠٠٦) Leslie و Summerell و اضيف إلى الوسطين المضاد الحيوي Chloromphenicol بمعدل ١٠٠ ملغم / لتر ، لوثت الأطباق بالفطريات المنفحة بأخذ أجزاء صغيرة من نهاية الغزل الفطري بتقنية Hyphal tip وحسبت نسبة عزلها حسب المعادلة :

$$\% \text{ للفطر المعزول} = \frac{\text{عدد مستعمرات النوع الفطري}}{\text{العدد الكلي للمستعمرات}} \times 100$$

بعد ذلك تم تحضين الأطباق في حاضنة نوع Binder على درجة حرارة ٢٥ م (± ٢) وعرضت للإضاءة كل ١٢ ساعة بالتبادل مع الظلام. وبعد نمو المستعمرات الفطرية نقيت وتم تعريف الفطريات مجهرياً كما تم قياس أبعاد الأبواغ

بأنواعها والحوامل البوغية باستخدام المجهر Motic image plus 2.0ml و البرنامج الخاص بقياس أبعاد الأبواغ. وعرفت لمرتبة الجنس إنتماً على المفتاح التصنيفي المعد من Barnet و Hunter (٢٠٠٦) و Summerell و Leslie (٢٠٠٦)، وبالإنتماد على الصفات المزرعية لمستعمرات الفطريات والمواصفات المظهرية للغزل والتراكيب التمرية والأبواغ وأبعادها.

التشخيص الجزيئي للذرة لبعض الفطريات المعزولة

١. عزل الدنا : DNA Isolation

قمنا باستخدام العزلتين التي تم تشخيصهما مظهرياً وهما النوعان *F. culmorum* و *F. graminearum* والتي تم عزلها من جذور وتيجان وسبابل نباتات القمح والشعير المصابة في عدة مناطق من محافظات صلاح الدين ومحافظة نينوى وبعد تربية هاتين العزلتين على الوسط الزرعي Potato Dextrose Agar PDA على درجة حرارة $25 \pm 2^\circ\text{C}$ لمدة سبعة أيام حسب ما جاء في تعليمات الشركة المصنعة ZYMO RESEARCH (أمريكا). بعدها تم تنقية تلك الفطريات باستخدام طريقة البوغ المفرد لكل فطر لاستخلاص الحامض النووي لكل منها على حدة كالتالي:

١- تم إضافة ٢٠٠ ملغم من الغزل الفطري إلى ZR BashingBead أنبوب التحلل Lysis tub وأضفنا إليه ٧٥٠ ميكرولتر من محلول التحلل Lysis solution .

٢- تم تثبيت العينات بجهاز الرجاج المزود بحامل مجموعة الأنابيب وتم إجراء العملية بأقصى سرعة لمدة ٥ دقائق .

٣- إجراء الطرد المركزي بجهاز الطرد المركزي الدقيق لأنابيب التحلل ZR BashingBead مع سرعة ١٠٠٠٠ دورة دقيقة واحدة .

٤- تم نقل ٤٠٠ ميكرولتر من المادة الطافية لراشح العينة إلى الفلاتر Zymo-Spin (ذو لون برتقالي) المثبتة فوق أنبوب التجميع Collection tube ثم إجراء طرد مركزي على سرعة ٧٠٠٠ دورة لمدة دقيقة .

٥- اضافة ١٢٠٠ ميكروليتر من محلول ربط الحامض النووي الفطري DNA Binding Buffer إلى المرشح في أنبوب التجميع في الخطوة ٤، وثم اهمال كل فلاتر العينات وتبقى فقط أنابيب التجميع .

٦- نقل ٨٠٠ ميكرولتر من الخليط في الخطوة ٥ إلى فلاتر جديدة (ذات لون أبيض) تسمى Zymo-Spin IIC Column المثبتة في أنابيب تجميع جديدة واجراء طرد مركزي على سرعة ١٠٠٠٠ دورة لمدة دقيقة واحدة .

٧- تم اهمال كل محتويات أنابيب التجميع واعادة الفلاتر الى أنابيب التجميع وتكرار الخطوة ٦ ثم اهمال أنابيب التجميع .

٨- اضافة ٢٠٠ ميكرولتر من محلول الغسيل المسبق للحامض النووي DNA pre-wash Buffer إلى الفلاتر في أنابيب تجميع جديدة واجراء الطرد المركزي عند ١٠٠٠٠ دورة لمدة دقيقة واحدة .

٩- تم اضافة ٥٠٠ ميكرولتر من محلول غسل الحامض النووي الفطري DNA wash Buffer إلى الفلاتر في أنابيب التجميع ثم اجراء الطرد المركزي على سرعة ١٠٠٠٠ دورة لمدة دققة واحدة .

١٠- اهمال أنابيب التجميع بالكامل ونبيي على الفلاتر البيضاء حيث تنقل إلى أنبوب الطرد المركزي الدقيق المسمى بندروف (١.٥) ثم اضافة ٥٠ ميكرولتر (٣٥ ميكرولتر كحد أدنى) من محلول شطف الحامض النووي DNA Elution Buffer مباشرة إلى الفلاتر ثم اجراء الطرد المركزي على سرعة ٣٠ ثانية فقط لاستخراج الحامض النووي ، تهمل الفلاتر ويؤخذ الراسب المتمثل بالحامض النووي DNA النقي .

٢. تقدير تركيز ونقاوة الدنا المستخلص:

تم تقدير تركيز DNA في العينات بعد تخفيتها الى ١٠٠ مرة باستعمال محلول TBE وقد استعمل جهاز NanoDrop للتعرف على تركيز DNA في العينات وتحديد نقاوتها.

٣. تقدیر الحجم الجزيئی للدنا :DNA

قدرت الأحجام الجزيئية للدنا إعتماداً على إجراء عملية الترحيل الكهربائي على هلام الأكاروز، باستخدام دليل حجمي يمثل قطع من الدنا حجمها الجزيئي معلوم متمثلة بالدلائل الحجمية Markers. إن المسافات التي قطعتها هذه الجزيئات في الهلام تناسب عكسياً مع أحجامها الجزيئية، وقد استعمل الدليل Sizer DNA Markers (intron) (intron)، إذ أعطى هذا الدليل في هلام الأكاروز حزم ذات أو زن حبيبة معروفة

الحاليل المستخدمة في عملية الترحيل:

١. محلول TBE بقوة X10 الذي تضمن التالي:

X10 مل من محلول EDTApH ٨.٠٢ مolar Boric acid ، ٠.٨٩ Molar Tris-base . لتحضير ١٠٠ مل من محلول TBE تم اخذ ١٠.٨ غم من Tris-base مع ٥.٥ غم من حامض البوريك واذببت في ٨٠ مل ماء مقطر ثم اضيف ٥ مل من محلول Na₂EDTA بتركيز ٤.٢ Molar وضبط الاس الهيدروجيني pH عند درجة ٧.٨ ثم اكمل الحجم الى ١٠٠ مل بالماء المقطر . بعدها عقم بالاوتوكلايف وعند استخدامه تم تخفيفه الى عشر مرات باستخدام الماء المقطر للحصول على X1 TBE.

- ## ٢- اكاروز نقى . ٣- الصبغة الحمراء السليمة .

طريقة تحضير هلام الاكاروز وعملية الترحيل الكهربائي : DNA

تحضير هلام الاكاروز: تم اعداد الاكاروز وفقاً لما ذكره Sambrook وأخرون، (١٩٨٩)، الذي كان يتركيز ١.٥٪ من خلل إذابة ١.٥ غرام من الاكاروز في ١٠٠ مل من محلول TBE المحضر مسبقاً. سخن الاكاروز لدرجة الغليان ثم ترك ليبرد عند حرارة ٤٥-٥٠°C . سكب الجل بعدها في حوض التحميل لتحضير لوح الجل الذي ثبت في طرفه المسطّل عمل ثقوب الخاصة بحمل العينات. سكب الجل برفق حتى لا تتكون فقاعات هواء وترك ٣٠ دقيقة ليبرد ثم ازيل المشط بلطف من الاكاروز الصلب. ثبّتت بعدها الصفيحة على حاملها في الوحدة الأفقيّة ممثّلة بالخزان الذي تم ملؤه بمحلول X1 TBE كي يتم تعطية سطح الهلام المستخدم في الترحيل الكهربائي.

تحضير العينة:

تم خلط ٢ ميكرولتر من محلول التحميل المجهز من شركة Intron (كوريا) مع ٥ ميكرولتر من الحمض النووي النقبي لغرض الترحيل كهربائياً ، وبعد عملية الخلط ، تمت عملية التحميل في فتحات الهلام. وتم تشغيل الجهاز بتيار كهربائي قوة ٧ فولت / سم^٣ لمدة ١ ساعة لحين وصول الصبغة إلى الجهة الثانية من الجل. وقد ضبطت الأقطاب ليكون إتجاه الترحيل للعينات نحو القطب الموجب مع مراعاة إيقاف الترحيل عند وصول الترحييل للعينات إلى قبل نهاية الهلام.

تم اختبار الجل باستعمال مصدر للأشعة فوق البنفسجية عند طول موجي ٣٣٦ نانومتر، بعد وضع الجل في حوض يحتوي على ٣ ميكرولتير من محلول صبغة الحمض النووي الحمراء السلبية و ٥٠٠ مل من الماء المقطر.

البيانات المستخدمة في التفاعل

حفظت البادئات بالتجميد، وتم إذابتها في ddH_2O الحر لإعطاء تركيز النهائي قدره ١٠٠ بيكومول/ميكرولتر كمحول مخزون والاحتفاظ بالمخزون عند حرارة -٢٠°C . لتحضير تركيز ١٠ بيكومول/ميكرولتر كعامل تمييدي معلق. سحب ١٠ ميكرولتر من محلول المخزون واضيف الى ٩٠ ميكرولتر من الماء المنزوع الايونات ddH_2O للوصول إلى الحجم النهائي ١٠٠ ميكرولتر. تم الأختبار اعتماداً على تعليمات الشركة الكندية المصنعة (IDT).

١. البادئ النوعي للجين ITS

الكشف عن جينات ITS باستخدام تقنية PCR: تم إجراء الكشف عن الجين المتخصص ITS باستخدام بادئات للتضخيم. تم تضخيم جزء من ITS باستخدام البادئ الأمامي (3'- TCCGTAGGTGAAACCTGCGG ITS1 F: 5'-) والبادئ العكسي (3'- TCCTCCGCTTATTGATGC ITS4 R: 5 ') (مجموعة بادئات مجهزة من شركة تقنيات DNA المتكاملة IDT الكندية). تم إجراء تضخيم PCR بحجم إجمالي قدره ٢٥ ميكرولتر يحتوي على ١.٥ ميكرولتر من الحمض النووي، و٥ ميكرولتر Taq PCR PreMix (Intron)، ١ كوريا، كل بادئ ثم تمت إضافة الماء المقطر إلى

الأنبوب للوصول الى الحجم الكلي من ٢٥ ملليلتر. اجري التدوير الحراري تحت ظروف اشار اليها Vesna وآخرون (٢٠٠٢) وعلى النحو التالي: المسلح عند ٩٤ درجة مئوية لمدة ٣ دقائق، تلاها ٣٥ دقيقة عند ٩٤ درجة مئوية لمدة ٤٥ ثانية، ثم مرحلة الالتحام عند ٥٢ درجة مئوية لمدة دقيقة واحدة وبعدها مرحلة الاستطالة الاولى عند ٧٢ درجة مئوية لمدة دقيقة واحدة ثم الاستطالة النهائية عند ٧٢ درجة مئوية لمدة ٧ دقائق باستخدام PCR system 9700، Gene Amp (Applied Biosystem). تم فصل منتجات PCR على هلام الاكاروز الكهربائي بتراكيز ١٪ بوجود الدليل الحجمي ١٠٠٠ bp حيث حمل المزيج في حفر هلام الاكاروز ثم رحلت العينات بجهاز الترحيل الكهربائي لمدة ١٥-٢٠ دقيقة صبغت بالصبغة الحمراء (Intron Korea) وتم تصويرها باستعمال كاميرا دقيقة بعد التعرض للأشعة فوق البنفسجية.

جدول (١) مكونات تفاعل التضخيم

نوع المكون	مكونات التفاعل	حجم المادة المضافة (μl)
١	D.W	١٦.٥
٢	Primer F	١
٣	Primer R	١
٤	Taq PCR PreMix	٥
٥	DNA	١.٥

تم خلط ٣ ملليلتر من المخزون المؤقت لتحميل المعالج (Intron / كوريا) مع ٥ ملليلتر من الحمض النووي المقترض ليكون مرتاحاً كهربائياً (صبغة التحميل)، وبعد عملية الخلط ، تم عملية التحميل في فتحات الهلام. تم تعریض تيار كهربائي بقوة ٧ فولت ١ سی ٢-١ لفترة ٢-١ ساعة حتى تصل الصبغة إلى الجانب الآخر من الجل. تم اختبار الجل بواسطة مصدر للأشعة فوق البنفسجية مع ٣٣٦ نانومتر بعد وضع الجل في حمام مائي الذي يحتوي على ٣ ملليلتر من محلول تلطيخ حمض نووي آمن أحمر و ٥٠٠ مل من الماء المقطر.

النتائج والمناقشة :

١- المسح الحقلي :

بيّنت نتائج المسح الحقلي والنقصي عن مرض اللفة الرأسية للسنابل على الشعير لمناطق زراعة الشعير في محافظتي صلاح الدين ونينوى انتشار المرض بنسب متباعدة وحسب الجدول (٢) اذ بلغ عدد الحالات المصابة بالمرض (الفحص العيني) ١٧ حقل من اصل ٢١ حقلًا شملت بعملية المسح اذ بلغت نسبة الاصابة بالمرض في هذه الحالات بين ٣.٢ - ٤.٧ % وبمتوسط ٢.٨ % وبشدة اصابة تراوحت بين ٠.٣ - ٠.٩ % وبمتوسط ٠.٦ % حيث سجلت اعلى نسبة اصابة بالمرض في قضاء سامراء بمعدل ٤.٧ % بينما اقل نسبة اصابة سجلت في قضاء الشرقاوة والحمدانية والقياره بمعدل ٢.٣ %. ويعود ارتفاع نسبة الاصابة وشديتها في بعض المناطق الى توفر الظروف البيئية الملائمة لنمو المسبب المرضي وانتشاره مثل درجة الحرارة والرطوبة. إن استخدام طرق الري الحديثة بالرش في سامراء والعلم وبيجي والحمدانية ادى الى ارتفاع مستوى الرطوبة اثناء فترات ارتفاع درجات الحرارة في شهر نيسان والتي تعد ظروفاً ملائمة لنمو المسبب المرضي وانتشاره مثل درجة الحرارة والتزهير والطور اللبناني التي تعد مرحلة حساسة للإصابة بالمرض وهذا يتفق مع (Harber Gilbert Martinez- ٢٠١٣، Espinoza ٢٠١٤). هناك عدة عوامل أخرى مثل الري المتكرر ، واتباع نظام زراعة الشعير بعد الذرة ، واعتماد عدم الحراثة أو الحراثة السطحية ، والزراعة من الأصناف المعرضة للإصابة ، وما إلى ذلك من ظروف تزيد أيضًا من فرصة انتشار المرض (Teli وآخرون ، ٢٠١٦ ، Palazzini ، ٢٠١٦)

جدول (٢) نسبة وشدة الاصابة بمرض لفحة السنابل للحقول التي تم اجراء الدراسة المسوحية عليها

المحافظة	القضاء	نسبة الاصابة المئوية	شدة الاصابة المئوية
صلاح الدين	الشرقاوي	٣.٢	٠.٥
	بيجي	٣.٥	٠.٩
	سامراء	٤.٧	٠.٩
	العلم	٣.٥	٠.٧
نينوى	قيارة	٢.٣	٠.٣
	الحمدانية	٢.٣	٠.٥
	حمام العليل	٣.٥	٠.٩
المتوسطات		٢.٩	٠.٦

العزل : Isolation

اظهرت البيانات المبينة في الجدول (٣) وال المتعلقة بنسب العزل من سنابل ونباتات الشعير تفوق تكرار ظهور أنواع *Fusarium* *SSP Fusarium* مقارنةً بعuzلات الفطريات الأخرى اذ بلغت أعلى نسبة لتكرار ظهور النوع *F. graminearum* ٢٠٪ من النبات البالغة و ٣٥٪ من السنابل تلاه النوع *F. culmorum* وبنسبة قاربت ١٥٪ من النباتات و ٢٠٪ من السنابل ثم تبعها النوع *F. poae* بنسبة ١٥٪ من النباتات و ١٠٪ من السنابل ، كما ظهرت أنواع أخرى مع الفطر *spp* *Fusarium* في الظهور وكانت أعلى نسبة ظهور الفطر *spp Alternaria* على النباتات البالغة و ٢٥٪ على السنابل البالغة و ٢٠٪ على السنابل ثم تبعة الفطر *spp Aspergillus* بنسبة ٥٪ على النباتات البالغة و ١٠٪ على السنابل ، والفطر *Helminthosporum spp* بنسبة ٥٪ على النباتات البالغة بينما على السنابل ظهر بنسبة ١٠٪ ويعود سبب انخفاض نسبة ظهور الفطريين *Penicillium spp* و *Aspergillus spp* لكونهما يعانى من الفطريات المشهورة مخزنياً ومحدودية أمراضيهما للنباتات في الحقل (Al Momany ، Thalji ، ٢٠١٥). كما يلاحظ زيادة عزل الفطر *F. graminearum* و *F. poae* ثم *F. culmorum* مقارنةً مع الأنواع الأخرى للفطر *Fusarium* أثناء العزل من نباتات وسنابل القمح (الشعبي وأخرون ، ٢٠١٨ ، التقسيمي ٢٠٢١).

جدول (٣) النسبة المئوية للفطريات المعزولة من نباتات الشعير والسنابل

العزلات	العزل من السنابل	العزل من النباتات	العزل من
<i>Alternaria spp.</i>	٢٠٪	٢٥٪	
<i>Aspergillus spp.</i>	١٠٪	٥٪	
<i>F. graminearum</i>	٣٥٪	٢٠٪	
<i>F. culmorum</i>	٢٠٪	١٥٪	
<i>F. poae</i>	١٠٪	١٥٪	
<i>Helminthosporum spp</i>	٪ ١٠	٪ ٥	
<i>Penicillium spp</i>	٪ ٥	٪ ٥	

التشخيص المظاهري :

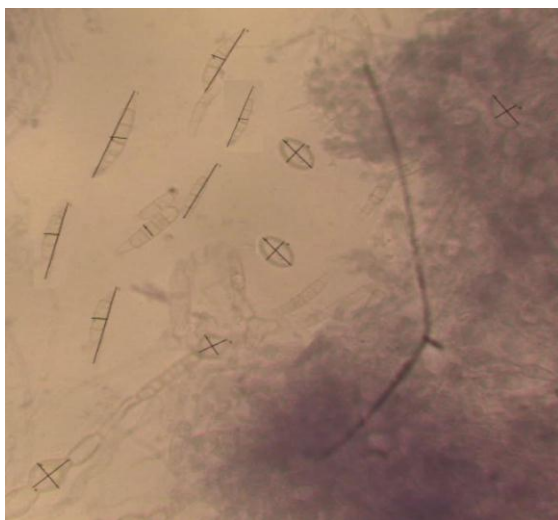
بعد تنقية المستعمرات لاحظنا وجود مستعمرات لونها أبيض بشكل عام مع وجود لون وردي والذي تغير مع تقدم عمر المستعمرة إلى اللون البني مكونة وسادة فطرية محدودة التكوين عند توريتها على وسط أوراق القرنفل Carnation Leaf PDA (CLA). كما ان مقلوب الطبق كان بلون برتقالي شاحب. وقد نمت المستعمرات الفطرية بسرعة على الوسط Agar Macroconidia كبيرة في جانبها الظاهري وخليلتها القاعدية متميزة والقمية مستدقة تقربياً ويتراوح عدد الحواجز في الأبواغ الكبيرة بين ٣ إلى ٧ حواجز. اما ابعد الأبواغ فقد تبأنت تبعاً لعدد الحواجز اذ كانت تلك التي تمتلك ثلاثة حواجز عند 3.7×3.7 ميكرومتر والتي تمتلك من ٥ الى ٧ حواجز ابعادها عند 5.3×5.3 ميكرومتر. ايضاً لوحظ ان الفطر (المجهول) لا يكون ابواجاً كونيدية صغيرة Macroconidia . الأبواغ الكلامية Chlamydospores للفطر مختلفة في تكوينها غالباً ما تكون الأبواغ البطيئة التكوين أكثرها شيئاً تلك التي تكون على الأبواغ الكونيدية الكبيرة، كما تكونت في الغزل الفطري فراداً باي بعد بين ١٢-١٠ ميكرومتر. المواصفات المشار إليها في اعلاه تتطابق على مواصفات نوع الفطر *F. graminearum* وقد اتفقت النتائج هذه مع ما ذكره Nelson و آخرون (١٩٨٣) و Leslie (٢٠٠٦) . كما توافقت النتائج مع ما أشار إليه كل من (الكبيسي ٢٠١٣، الطائي وطه ٢٠١٨، القيسى وآخرون ٢٠٢١) في امكانية عزل الفطر من نباتات القمح والشعير المصابة في مناطق مختلفة من العراق.

كما تم مشاهدة مستعمرات ذات لون احمر يميل الى البني والأبواغ الكونيدية الكبيرة Macrocondia قوية وقصيرة نوعاً ما ومحاطة بجداران سميكه جانبها الظاهري منحني نسبياً والجانب البطني مستقيم تقريباً لها ٤-٣ حواجز اعدادها غزيرة وذلك عندما أصبح عمر مستعمرة الفطر سبعة ايام على الوسط الذي فيه أوراق قرنفل. حاصل الكونيديا ذات شكل متعرج على غزل الفطر تتجمع وتكون شكل الوسادة الفطرية Sporodochium لها ابعد تراوح مابين $7.4 \times 5.0 - 3.5$ ميكرومتر. الشكل بيضوي ويميل الى الكروي هو ماتتميز به أبواغ الكلامية والتي تكون بين خلايا غزل الفطر او على الطرفين ملمسها أملس الى خشن والأبعاد تتراوح من ١٣-٩ ميكرومتر وكانت بشكل منفرد أو تتجمع قطعوي شكل السلسل، ولا تحتوي على الأبواغ الكونيدية الصغيرة Microcondia . صفات المستعمرات الفطرية المبينة آنفاً ترجع لنوع فطر *F. culmorum* وإن هذا الوصف يتواافق مع نتائج ذكرها Nelson و آخرون (١٩٨٣) و Leslie و Summerell (٢٠٠٦) و Desjardins (٢٠١٩)، Munkvold (٢٠١٧) و Minati (٢٠٠٦).

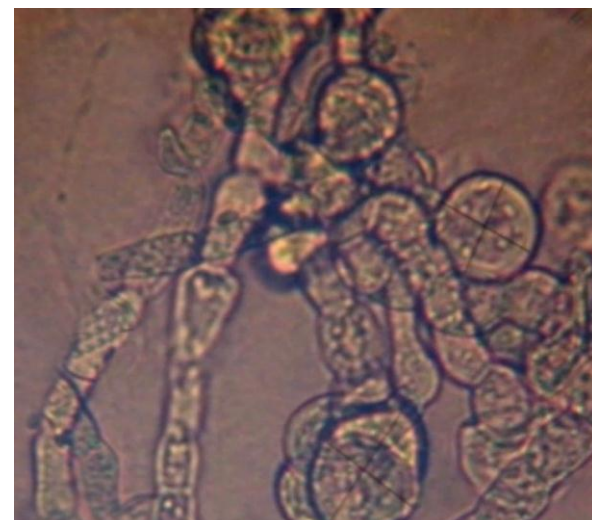




6



2



3

الصورة (١) الفطريات المعزلة ١- مستمرة فطر *F. graminearum* على PDA ٢- ابواغ كبيرة *F. graminearum* على PDA ٣-ابواغ الكلاميدية لفطر *F. culmorum* عمر ٢٠ يوما ٤- فطر *F. culmorum* نامي على PDA ٥-ابواغ كبيرة Macroconidia *F. graminearum* Macroconidia Conidiophores ٦- حوالن كونيدية *F. graminearum* والابواغ الكلاميدية Chlamydospores . قوة التكبير على المجهر ×٤٠٠ تأكيد تشخيص الفطريات جزئيا :

أوضحت النتائج التي تم الحصول عليها من التشخيص الجزيئي للعزلات الفطرية التي تسببت بالأصابة بالفحة السنابل في حقول الشعير بما النوعين *F. graminearum* و *F. culmorum* وباستخدام تقنية تفاعل البلمرة المتسلسل ، Polymerase Chain Reaction (PCR) من خلال استخدام زوج بادئات المتخصصة للكشف عن الجينات في منطقة فاصل النسخ الداخلي ITS1 F: 5'- ITS Internal transcribed spacer (ITS) الذي استعمل فيه البادي الأمامي (ITS4 R: 5' TCCTCCGCTTATTGATATGC- 3') والبادي العكسي (TCCGTAGGTGAACTGCGG- 3'). واظهرت النتائج من تحليل الهجرة الكهربائية باستعمال الاكاروز ٢ % في ظهور حزمة بحجم ٥٤٤ زوج قاعدي وهو الحجم الذي تم توقعه الذي تظهر عنده بادئات المتخصصة للكشف. ولأن البادئ يقعان داخل التكوين الجيني لكل من الفطر *F. culmorum* والفطر *F. graminearum*. فإنه يتأكد بشكل نهائي أن عزلتي الفطر التي تم تشخيصهما بالتشخيص المظاهري على الاوساط الزرعية تعود إلى الفطرين المذكورين آنفًا. إن هذه النتيجة التي تم الوصول إليها تتفق مع Nielsen (. ٢٠١١ ، Bekalu وآخرون ، ٢٠٢٠) الذين أكدوا أن التشخيص لعزلات الفطرين *F. graminearum* و *F. culmorum* يمكن أن يتم باستعمال بادئات تقنية تفاعل البلمرة المتسلسل.

M 1 2



١- تمثل عزلة الفطر *F.graminearum*

٢- تمثل عزلة الفطر *F.culmorum*

صورة (2) ناتج تقانة البلمرة المتسلسل على حجم ٥٠٠ زوج قاعدة وترحيل كهربائي ٢٪ لمنطقة ITS4 لمدة ٣٠:١ ساعة

ولكي يتم تحديد هوية عزلتي الفطريين *F.graminearum* و *F.culmorum*. فقد تم تضخيم الجينات المتخصصة Specific primers عند منطقة الفاصل الداخلي ITS وهي من النوع rRNA وباستعمال بادنات ITS1 وITS4. وتم بعد تشخيص العزلات جزيئياً وتأكدت مطابقتها مع نسخ تركيبة جزيئية لهذه الانواع وهي مخزونة في بنك الجينات التابع الى الموقع العالمي للمركز الوطني لمعلومات التكنولوجيا الحيوية (NCBI). وتبين من خلال مقاطعة المحتوى الجيني لثلاث العزلات انها ذات مطابقة بنسبة ٩٩٪ مع العزلات العالمية KY272845.1 و MN452715.1 و MT032704.1 وان غطاء الاستعلام للتلسلل كان عند ٩٩٪ وان قيمة الخطأ هي عند ٠.٠. وان النتائج التي تم الحصول عليها قد اظهرت توافقاً بنسبة ٩٩٪.

جدول (٤) قيم التوافق الجزيئي بين عزلات الاصابة من فطريات *F.graminearum* و *F.culmorum* مع العزلات العالمية.

Gene: 16S ribosomal RNA gene						
No.	Type of substitution	Location	Nucleotide	Sequence ID with compare	Source	Identities
1	Transition, Transversion	378	N(A,C,G,T)\C	ID: MN452715.1	<i>Fusarium graminearum</i>	99%
2	Transition	352	T\C	ID: MT032704.1	<i>Fusarium culmorum</i>	99%

المصادر

- الشعبي، صالح، صفية المصري، عدنان نحالي، لينا المطرود وتيسير أبو الفضل. (٢٠١٨). تقصي انتشار مرض لفحة فيوزاريوم سنابل القمح ومسبباته في سهل الغاب في سوريا، والتباين في قدرها تها الإلماراضية في سهل الغاب في سوريا. مجلة وقاية النبات العربية، ٩٨-١١٣ :٣٦
- الطاني ، علي كريم و زه رده شت عبد الوهاب طه.(٢٠١٨). أول تشخيص للفطر *Fusarium poae* المسبب لتعفن جذور الحنطة في شمال العراق ، مجلة علوم الرافدين، المجلد ٢٧ ، العدد ٥ ، ص ١٦٨-١٦٢ .
- العامري، مثنى عبد الباسط علي (٢٠١٠)، تقويم الأداء وتقدير المعلم الوراثية وأدلة الانتخاب لمدخلات جديدة من الشعير (*Hordeum vulgare*)، رسالة ماجستير، قسم المحاصيل الحقلية، كلية الزراعة والغابات، جامعة الموصل .
- القيسى، عبير روفوف محمود، عبدالله عبد الكريم حسن، وليد محمد صالح وفاطن حسن يحيى. (٢٠٢١). تقويم كفاءة بعض مؤشرات المقاومة الجزيئية لأصناف من القمح في مقاومة مرض لفحة السنابل المتسبب عن الفطر *Fusarium graminearum* في محافظة صالح الدين، العراق. مجلة وقاية النبات العربية (٣٩) ٢ : ٩٦-١٠٨.
- الكبيسي، علي صادق محمد (٢٠١٣) . تشخيص مسببات تعفن جذور الشعير في منطقتي تلغرف والحمدانية ومكافحتها. رسالة ماجستير ، كلية الزراعة والغابات ، جامعة الموصل ، العراق .
- اليونس، عبدالحميد احمد (١٩٩٣) . إنتاج وتحسين المحاصيل الحقلية ، الجزء الأول . مطبعة الكتب للطباعة والنشر ، بغداد ، العراق، ٤٦٩ صفحة .

- **De Villiers, C. I. P. (2009).** A comparison of screening techniques for *Fusarium* head blight of wheat in South Africa (Doctoral dissertation, University of the Free State).
- **Bekalu, Z. E., Krogh Madsen, C., Dionisio, G., Bæksted Holme, I., Jørgensen, L. N., S Fomsgaard, I., and Brinch-Pedersen, H. (2020).** Overexpression of nepenthesin HvNEP-1 in barley endosperm reduces *Fusarium* head blight and mycotoxin accumulation. Agronomy, 10(2), 203.
- **Atkins, S. D., and Clark, I. M. (2004).** Fungal molecular diagnostics: a mini review. J Appl Genet, 45(1), 3-15.
- **Barnet, H. L. and B.B. Hunter (2006).** Illustrated Genera of Imperfect Fungi. Burgess Publishing Company. 241pp.
- **Blattner, F. R. (2018).** Taxonomy of the genus *Hordeum* and barley (*Hordeum vulgare*). In The Barley Genome (pp. 11-23). Springer, Cham.
- **Chakraborty, S., Liu, C. J., Mitter, V., Scott, J. B., Akinsanmi, O. A., Ali, S., ... and Simpfendorfer, S. (2006).** Pathogen population structure and epidemiology are keys to wheat crown rot and *Fusarium* head blight management. Australasian Plant Pathology, 35(6), 643-655.
- **Chelkowski, J. (1989).** Formation of mycotoxins produced by *Fusaria* in heads of wheat, triticale and rye. Pages 63-84 in: *Fusarium: Mycotoxins, Taxonomy, and Pathogenicity*. J. Chelkowski, ed. Elsevier Press, Amsterdam
- **Gilbert, J., and Haber, S. (2013).** Overview of some recent research developments in *Fusarium* head blight of wheat. Canadian Journal of Plant Pathology, 35(2), 149-174.
- **Jones, R. K. (2000).** Assessments of *Fusarium* head blight of wheat and barley in response to fungicide treatment. Plant Disease, 84(9), 1021-1030.

- **kheev, A. A., Ryazantsev, D. Y., Gagkaeva, T. Y., and Zavriev, S. K. (2011).** PCR detection of Fusarium fungi with similar profiles of the produced mycotoxins. *Food Control*, 22(3-4), 462-468.
- **Lamichhane, J. R., Dürr, C., Schwanck, A. A., Robin, M. H., Sarthou, J. P., Cellier, V., ... & Aubertot, J. N. (2017).** Integrated management of damping-off diseases. A review. *Agronomy for Sustainable Development*, 37(2), 1-25.
- **Leslie, J. F., and Summerell, B. A. (2006).** The Fusarium Laboratory Manual Blackwell. John F. Leslie and Brett A. Summerell., Ed, 1-388.
- **Liu, J., and Applegate, T. (2020).** Zearalenone (ZEN) in livestock and poultry: dose, toxicokinetics, toxicity and estrogenicity. *Toxins*, 12(6), 377.
- **Martinez-Espinoza, A., Ethredge, R., Youmans, V., John, B., and Buck, J. (2014).** Identification and Control of Fusarium Head Blight (Scab) of Wheat in Georgia.
- **McMullen, M., Bergstrom, G., De Wolf, E., Dill-Macky, R., Hershman, D., Shaner, G., and Van Sanford, D. (2012).** A unified effort to fight an enemy of wheat and barley: Fusarium head blight. *Plant Disease*, 96(12), 1712-1728.
- **Michenny,H.H.(1923)** Influence of Soil temperature and moisture on infection of wheat seeding by *Helminthosporium sativum*. *Journal Agriculture Research*.26:195-217.
- **Minati 'Mohammed Hussein(٢٠١٩).** . Isolation, Identification, Pathogenicity and Toxicity of some Fungi associated with Head Blight and Crown Rot Diseases on Wheat in Basrah. Doctor of Philosophy (PhD). University of Basrah
- **Nelson, P. E., Toussoun, T. A., and Marasas, W. F. O. (1983).** Fusarium species: an illustrated manual for identification.
- **Nielsen, L. K., Jensen, J. D., Nielsen, G. C., Jensen, J. E., Spliid, N. H., Thomsen, I. K., ... and Jørgensen, L. N. (2011).** Fusarium head blight of cereals in Denmark: species complex and related mycotoxins. *Phytopathology*, 101(8), 960-969.
- **Palazzini, J. M., Torres, A. M., and Chulze, S. N. (2018).** Tolerance of triazole-based fungicides by biocontrol agents used to control Fusarium head blight in wheat in Argentina. *Letters in applied microbiology*, 66(5), 434-438.
- **Teli, B., Chattopadhyay, A., Meena, S. C., Gangwar, G. P., and Pandey, S. K. (2016).** Present status of Fusarium head blight of wheat and barley in India. *Diseases of wheat and their management*, 79-92.
- **Thalji, T., and Al Momany, A. (2015).** Effect of Fungi on viability farmers wheat seeds stored for planting in Jordan. *Jordan Journal of Agriculture Sciences*, accepted.
- **Waalwijk, C., Kastelein, P., de Vries, I., Kerényi, Z., van der Lee, T., Hesselink, T., and Kema, G. (2003).** Major changes in Fusarium spp. in wheat in the Netherlands. *European Journal of Plant Pathology*, 109(7), 743-754.
- **Xu, J. R., Peng, Y. L., Dickman, M. B., & Sharon, A. (2006).** The dawn of fungal pathogen genomics. *Annu. Rev. Phytopathol.*, 44, 337-366.